

بررسی تأثیر تابش گاما بر ضریب تضعیف جرمی نانوذرات اکسیدمنیزیم

مریم امینی، علیرضا وجданی نقره ئیان^{*}، زهرا دهقانی

گروه فیزیک، دانشکده علوم، دانشگاه نیشابور

چکیده

نانوذرات اکسیدمنیزیم با استفاده از روش سل-ژل فراهم شده‌اند. نتایج تجربی XRD نشان می‌دهد که نانوذرات MgO دارای ساختار مکعبی و شش‌ضلعی با قطر متوسط حدود ۲۰ نانومتر می‌باشدند. گاف انرژی نور مستقیم این نانوذرات توسط طیفسنجی UV-Vis، ۴/۵۴ الکترون‌ولت به دست آمده است. مقادیر ضریب تضعیف جرمی تجربی برای نانوذرات تابش ندیده با مقادیر تشوری میکروذرات محاسبه شده توسط پایگاهداده NIST XCOM مقایسه شد؛ نتایج نشان می‌دهد که ضریب تضعیف جرمی نانوذرات اکسیدمنیزیم علاوه بر عدداتمی مؤثر، به سایز ذره نیز وابسته است. همچنین نتایج تجربی نشان می‌دهد که ضریب تضعیف جرمی با افزایش انرژی فوتون کاهش می‌یابد. علاوه بر موارد ذکر شده، ضریب تضعیف جرمی نانوذراتی که ۱۰۰ Gy توسط چشممه‌ی ^{60}Co دریافت نموده اند با ضریب تضعیف جرمی نانوذرات تابش ندیده مقایسه شد و نتایج نشان می‌دهد که با دریافت ذر توسط نانوذرات، ضریب تضعیف جرمی آن‌ها کاهش می‌یابد که ممکن است ناشی از تغییر ساختار مولکولی پس از تابش دهی باشد.

واژه‌های کلیدی: روش، سل-ژل، ضریب تضعیف جرمی، نانوذرات MgO .

E-mail: Vejdani@neyshabur.ac.ir

۱- مقدمه

اخيراً نانوذرات نیمرساناً به دليل برنامه‌های کاربردی خود در میکروالکتریک، اپتوالکتریک، اپتیک غیرخطی، فوتوكاتالیز و تبدیل انرژی صنعتی، توجه زیادی را به خود جلب کرده اند[۱]. از طرفی بلورهای نیمرسانای نانو، به دليل خواص نوری تنظیم‌پذیر خود که ناشی از اثر محدودکنندگی کوانتمومی است، بسیار مورد توجه قرار گرفته‌اند[۲].

در میان نانوذرات اکسید فلزی شناخته شده، اکسیدمنیزیم به طور گستردگی مورد مطالعه قرار گرفته است. این نانوذره یک جامد منحصر به فرد با خواص یونی بالا، استوکیومتری و ساختار بلوری ساده می‌باشد و این موارد کاربردهایی جدید در زمینه‌های مانند الکترونیک، جذب، تجزیه، سرامیک، محصولات پتروشیمی، پوشش منعکس‌کننده و ضدانعکاس، تشخیص و اصلاح زباله‌های شیمیایی و بسیاری از زمینه‌های دیگر دارد. از طرفی فعالیت‌های ضدباکتری نانوذرات MgO نیز در مقابل عوامل بیماری‌زا مختلف ایجاد می‌شود[۳]. اکسیدمنیزیم به دليل ظرفیت حرارتی کم و نقطه‌ی ذوب بالا، یک ماده‌ی بسیار مناسب برای کاربردهای عایق است و با توجه به شکل‌گیری آنیون‌های سوپراکسید (O_2^-) روی سطح آن، دارای عملکرد ضدباکتری خوب در محیط‌های آبی می‌باشد[۴].

قابل ذکر است که نانوذرات MgO می‌توانند با استفاده از تکنیک‌های مختلف فیزیکی و شیمیایی تولید شده باشند. سنتز شیمیایی مرتبط نانوذرات، یکی از روش‌های بسیار حساس است

۲- فعالیت‌های آزمایشگاهی

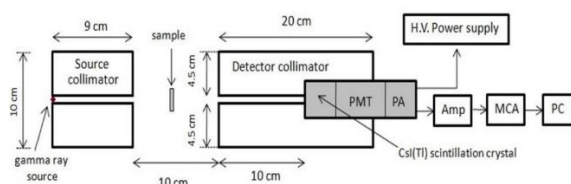
۲-۱- ساخت نانوذرات MgO و تهیه فونه‌ها

نانوذرات MgO توسط روش سل-ژل تولید شده‌اند[۷]؛ به گونه‌ای که ابتدا ۱۰۰ گرم از $\text{MgCl}_2 \cdot 6\text{H}_2\text{O}$ در یک بشر یک لیتری در ۵۰۰ میلی‌لیتر آب مقطحل شده و در داخل هرکدام ۵۰ میلی‌لیتر از محلول NaOH اضافه شده است. سپس محلول به سرعت به مدت ۴ ساعت برای تولید رسوب منیزیم‌هیدروکسید هم زده

$$\mu_m = \mu / \rho \quad (2)$$

که در آن μ در cm^{-1} و μ_m در cm^2g^{-1} اندازه‌گیری شده است و ρ چگالی نمونه‌ی MgO در g/cm^3 است [۶].

برای اندازه‌گیری ضریب تضعیف جرمی، طیفسنجی آزمایش‌ها برای نمونه‌های MgO با ضخامت‌های مختلف و منبع انرژی‌های مختلف $59/6 \text{ keV}$ و $26/3 \text{ keV}$ انجام شد. بهمنظور بررسی اثر اشعه‌ی گاما بر روی ضریب تضعیف جرمی، همان طور که گفته شد، ضخامت‌های مختلف $2, 3, 4$ میلی‌متر از MgO آماده شد. سپس یک دسته از این ضخامت‌ها توسط چشمی ^{60}Co میزان 100 Gy دریافت نموده و پس از آن، برای هر نمونه با ضخامت خاص دو آزمایش طیفسنجی انجام شده است. ابتدا قبل از قرار دادن نمونه تعداد شمارش‌های پرتوهای گاما (I_0) برای 3000 s ثانیه اندازه‌گیری شد. سپس با نگهداشتن نمونه بین منبع گاما و آشکارساز، شمارش اشعه‌های گاما می‌ منتقل شده از طریق نمونه، بدون هرگونه برهکشی (I) برای 3000 s ثانیه اندازه‌گیری شد. پس از انجام آزمایش، لگاریتم مقادیر شدت $\ln(I_0/I)$ برای همه ضخامت‌های نمونه محاسبه شده و درنهایت، ضریب تضعیف خطی با رسم نمودارهای $\ln(I_0/I)$ بر حسب ضخامت نمونه برای هر دو حالت نمونه‌های قبل و بعد از تابش دهی محاسبه شده است.

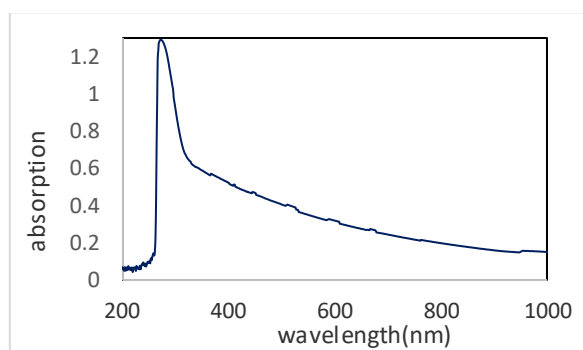


شکل ۱: چیدمان آزمایش استفاده شده برای اندازه‌گیری ضریب تضعیف جرمی MgO نانوذرات

۳- نتیجه و بحث

۱-۳- طیف UV_Vis

طیف UV_Vis نانوذرات MgO پراکنده شده در 200 تا 1000 نانومتر گرفته شده، که در شکل ۲ نشان داده شده است.



شکل ۲: طیف جذبی UV_Vis نانوذرات MgO

شده است. رسوب حاصل شده در 3000 دور در دقیقه (rpm) به مدت 5 دقیقه بهمنظور به دست آوردن Zn(OH)_2 سانتریفیوژ شده سپس آن را چند بار با آب مقطور شسته و در 60 درجه‌ی سانتی‌گراد به مدت 24 ساعت خشک نموده‌ایم. پودر خشک شده درنهایت در 450 درجه‌ی سانتی‌گراد به مدت 2 ساعت کلسینه شده و نانوذرات اکسیدمنیزیم تولید شده است. سپس قرص‌هایی از نانوذرات سنتزشده با ضخامت 2 میلی‌متر، 3 میلی‌متر و 4 میلی‌متر در فشار 60 Bar را تولید نموده و یک دسته از این قرص‌ها را درمعرض اشعه‌ی گاما ساطع شده از منبع ^{60}Co فرارداده و هر کدام میزان 100 Gy دز را دریافت نموده‌اند.

۲- مشخصه‌های نانوذرات اکسیدمنیزیم

الگوهای پراش اشعه‌ی X (XRD) نانوذرات MgO توسط اشعه‌ی X ثبت شده است.

مشخصات دستگاه XRD مورد استفاده برای الگوهای پراش XRD به شرح زیر می‌باشد:

(Model: Philips, X'pert with Ni-filter Cu K α radiation, $\lambda: 1.78901 \text{ \AA}$, step size: $0.02^\circ/\text{s}$, voltage: 40 kV , current: 40 mA)

گاف انرژی نوری نمونه، توسط اسپکتروفوتومتر (T80+UV_Vis) در محدوده‌ی طول موج 200 تا 1000 نانومتر به دست آمده است.

۳- اندازه‌گیری ضریب تضعیف جرمی

طرح چیدمان آزمایش استفاده شده برای اندازه‌گیری ضریب تضعیف جرمی در شکل ۱ نشان داده شده است. چیدمان از یک آشکارساز سوسوزن $2'' \times 2''$ CsI(Tl) و کلیماتور چشمی و کلیماتور آشکارساز ساخته شده است. کلیماتورها از استوانه‌های سربی با لوله خارجی 19 سانتی‌متری و لوله‌ی داخلی 1 سانتی‌متری ساخته شده‌اند.

سیستم طیفسنجی گاما با استفاده از اشعه‌ی گاما با انرژی‌های $59/6 \text{ keV}$ و $26/3 \text{ keV}$ از منبع ^{241}Am کالیبره شده است.

در این پژوهش، ضریب تضعیف جرمی و خطی نمونه‌ها را با استفاده از پرتوی گاما تخمین زده‌ایم. تابش جذب شده توسط معادله‌ی 1 مشخص می‌شود.

$$I = I_0 e^{-\mu x} \quad (1)$$

که در آن I_0 تعداد ذرات تابشی شمارش شده در یک مدت زمان خاص و بدون هرگونه جاذب می‌باشد. I شدت شمارش شده در همان زمان با وجود ضخامت X از جاذب بین منبع تابش و آشکارساز است. μ نیز ضریب تضعیف خطی می‌باشد. ضریب تضعیف جرمی μ ، توسط معادله‌ی 2 به دست می‌آید.

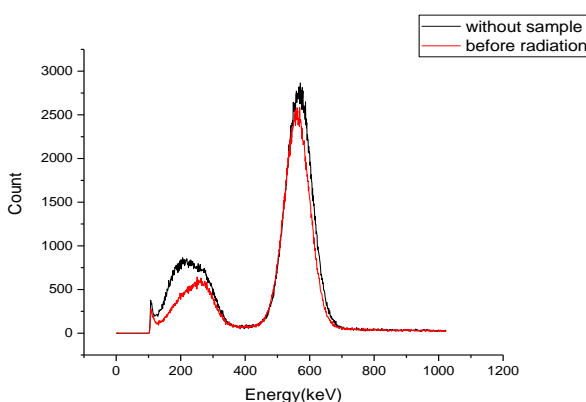
فوتون‌ها باعث کاهش ضریب تضعیف جرمی می‌شود. مقادیر μ_m تجربی نانوذرات تابش‌نديده‌ی MgO را با مقادیر تئوری میکروذرات محاسبه شده با استفاده از پایگاه داده‌ی NIST XCOM مقایسه کردیم^[۹]. مشاهده نمودیم که نتایج برای نانوذرات تابش‌نديده توافق خوبی با نتیجه‌ی میکروذرات ندارد. بنابراین این می‌تواند بیانگر این موضوع باشد که ضریب تضعیف جرمی علاوه بر اینکه به عدداتمی مؤثر باستگی است، به ابعاد و اندازه‌ی ذرات نیز وابسته می‌باشد. ضریب تضعیف جرمی نانوذرات، کوچکتر از میکروذرات است و این نفاوت در حدود ۱۵٪ باشد.

$$D = \frac{K\lambda}{\beta \cos \theta} \quad (3)$$

جدول ۱: ضریب تضعیف جرمی نانوذرات MgO در انرژی‌های مختلف گاما

Sample	$E_{\gamma}=26.3\text{keV}$	$E_{\gamma}=59.6\text{keV}$
MgO	0.9552	0.3132
MgO/Gamma	0.764	0.2888

از طرفی از مقایسه‌ی ضریب تضعیف جرمی نانوذرات تابش‌دیده و نانوذرات تابش‌نديده با استفاده از جدول ۱ و همچنین نمودارهای ۴ و ۵ که نشان‌دهنده‌ی طیف مربوط به هر دو دسته از نانوذرات برای یک ضخامت خاص می‌باشند، می‌توان نتیجه گرفت که با دریافت دز توسط ماده، ضریب تضعیف جرمی آن کاهش می‌یابد.



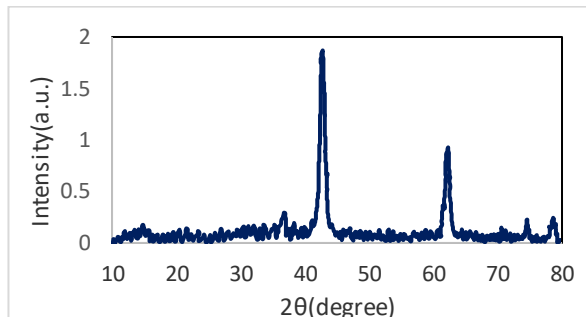
شکل ۴: طیف نانوذرات تابش‌نديده‌ی MgO با ضخامت ۴ میلی‌متر در حضور چشم‌های Am

طیف جذبی UV-Vis نانوذرات MgO حداقل جذب این نانوذرات را در ۲۷۳ نانومتر نشان می‌دهد. گاف انرژی نانوذرات تولید شده ۴/۵۴eV به دست آمده است.

۲-۳- الگوی پراش اشعه‌ی ایکس شکل ۳ الگوی XRD نانوذرات MgO را نشان می‌دهد. اندازه‌ی بلوری نانوذرات MgO، D، با استفاده از Debye-Scherre (معادله‌ی ۳)، از قله‌ی اصلی پراش مربوطه محاسبه شده است.

که در آن k یک ثابت (۰/۹) است، λ طول موج پرتوی X استفاده شده می‌باشد (۱۵۴۰۶/۰ نانومتر).

θ نصف زاویه‌ی پراکندگی است (زاویه‌ی پراش براگ) و β پهنه‌ی کل در نصف ماکریتم (ارتفاع) خط پراش پرتوی X (FWHM) (برحسب رادیان می‌باشد[۸]).

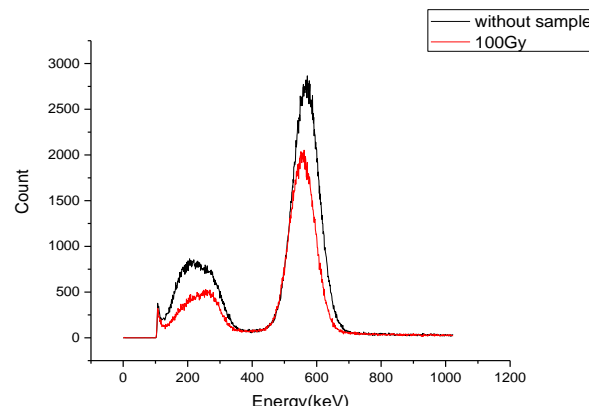


شکل ۳: الگوی XRD نانوذرات MgO

متوسط اندازه‌ی بلور محصول، ۲۰ نانومتر محاسبه شده است. قله‌های اصلی و غالب نانوذرات MgO در $2\theta=42/8$ و $36/7$ و $26/3$ و $78/1$ و $26/2$ قرار داده شده‌اند. حضور MgO شش‌ضلعی و مکعبی و قله‌ها را می‌توان به یک فاز خاص از MgO اختصاص داد. این نتایج در توافق خوبی با استاندارد کمیته‌ی مشترک استانداردهای قدرت پراش (JCPDC) و no: 45-0946 می‌باشند[۷].

۳-۳- آنالیز ضریب تضعیف جرمی با استفاده از اندازه‌گیری دقیق I و I_0 و $\rho(\text{g}/\text{cm}^3)$ برای نمونه‌های تابش‌دیده و تابش‌نديده، در انرژی‌های گاما به دست آمده است. مقادیر μ_m تجربی برای نمونه‌های تابش‌نديده با مقادیر تئوری محاسبه شده با استفاده از NIST XCOM مقایسه شده‌اند. جدول ۱ ضریب تضعیف جرمی نانوذرات MgO را برای $26/3$ keV و $59/6$ keV فوتون بر ضخامت‌های هدف در حالت تابش‌دیده و تابش‌نديده نشان می‌دهد. افزایش ضخامت‌ها به معنای برهمنکش بیشتر فوتون‌ها و نمونه است به طوری که نتایج متفاوت‌تری وجود دارد. مشاهده می‌کنیم که افزایش انرژی

- [4] M .Amin Alavi, A. Morsali, Ultrasonics Sonochemistry, 17, (2010).
- [5] B. Oto, A. Gür, International Journal of Physical Science, 7(44), (2012).
- [6] L.M Chaudhari, D.V Raje, Agriculture and Forestry Science, 1(2), 20-25, (2013).
- [7] S. Jorfi, G. Barzegar, M. Ahmadi , R. Darvishi, C. Soltani, N. Jafarzadeh Haghifard, A. Takdastan, R. Saeedi, Me. Abtahi, Environmental Management, 177, 111-118, (2016).
- [8] E. Saievar Iranizad, Z. Dehghani, M. Nadafan, Molecular Liquids, 190, 6-9, 2014.
- [9] National Institute of Standard and Technology, Physical Measurements Laboratory, XCOM Photon Cross-Section Database,<http://Physics.nist.gov/PhysRefData/Xcom/html/xcom1.html>.



شکل ۵: طیف نانوذرات تابش دیده‌ی MgO با ضخامت ۴ میلی‌متر در حضور چشم‌های Am

۴- نتیجه‌گیری
ویژگی‌های اپتیکی نانوذرات ساخته شده، توسط اسپکتروسکوپی UV_Vis و پراش پرتوی X (XRD)، برای پیدا کردن گاف انرژی و تخمین سایز نانوذرات با استفاده از فرمول Debye_scherrer مشخصه یابی می‌شوند.

ضریب تضعیف جرمی ضخامت‌های مختلف نانوذرات MgO (حالی که 100 Gy دریافت ننموده‌اند)، با استفاده از انرژی‌های مختلف $59/6 \text{ keV}$ و $26/3 \text{ keV}$ تجربی برای حالت قبل از تابش دهنده با مقادیر تئوری میکروحالات که با استفاده از NIST XCOM محاسبه شده‌اند، مقایسه شد. ازطرفی در این تحقیق، رابطه‌ی بین انرژی فوتون و ضریب تضعیف جرمی و همچنین وابستگی ضریب تضعیف جرمی به پارامترهای دیگر تحقیق شد و به بررسی اثر پرتوهای مواد بر روی ضریب تضعیف جرمی آن‌ها از طریق مقایسه‌ی بین ضریب تضعیف جرمی ذرات تابش دیده و ذرات تابش ندیده نیز پرداخته شد.

۵. منابع

- [1] G. Nabiyouni, P. Boroojerdian, K. Hedayati, D.Ghanbari, High Temp.Mater.Proc, 31, 723–725, (2012).
- [2] Z. Q.Mamiyev, N. O.Balayeva, optical Materials, 46, 522-525, (2015).
- [3] M.R. Bindhu, M. Umadevi, M. Kavin Micheal, Mariadhass Valan Arasu, Naif Abdullah Al-Dhabi, Materials letters, 166, 19-22, (2016).